



Facoltà di Scienze MM. FF. NN.
Corso di laurea in Scienze Geologiche
Anno Accademico 2015-2016

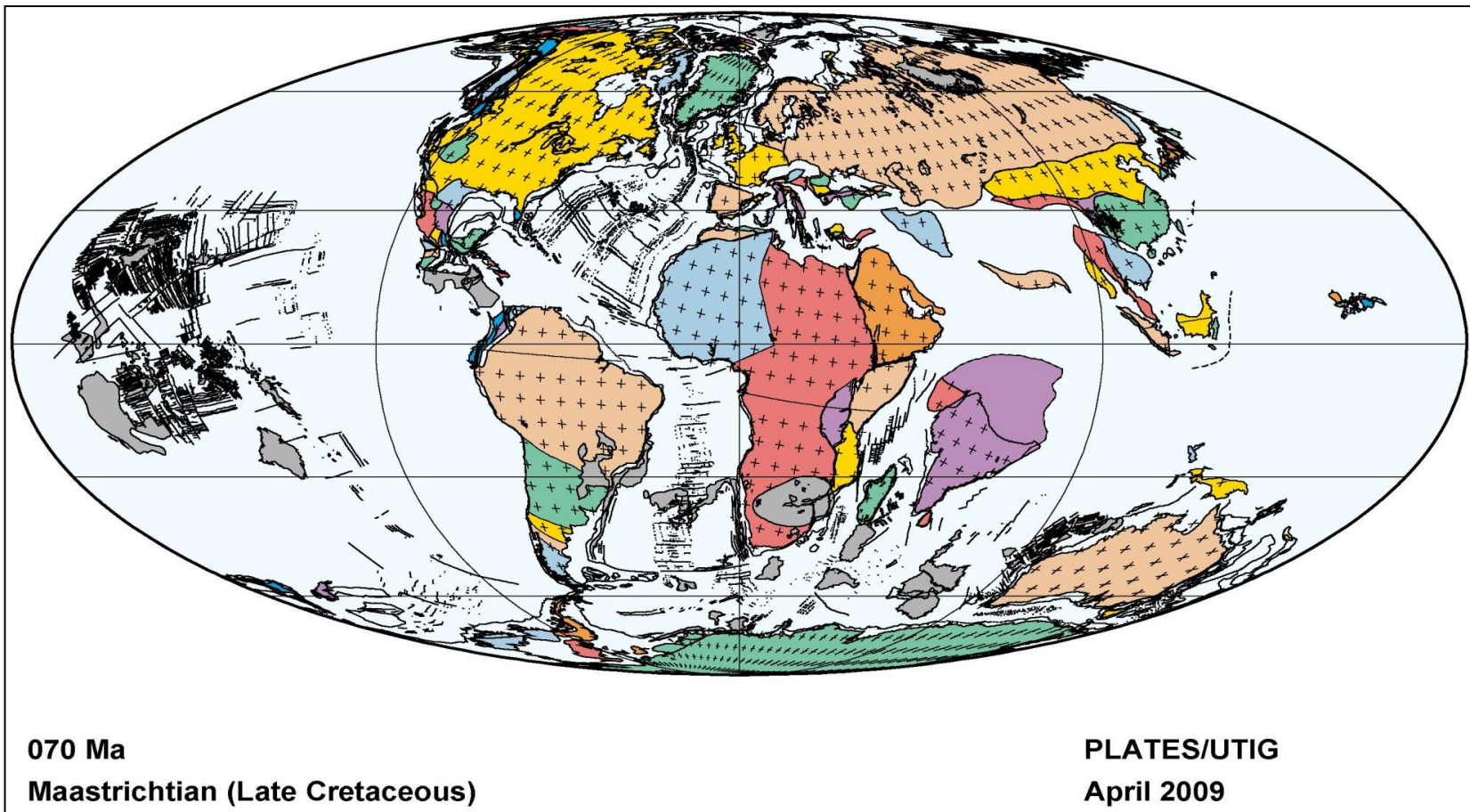
Il sistema di alimentazione magmatica dei basalti del Deccan (Western Ghats, India): evidenze mineralogiche e petrologiche

Relatore: Prof. Andrea Marzoli
Laureando: Andrea Boscaini

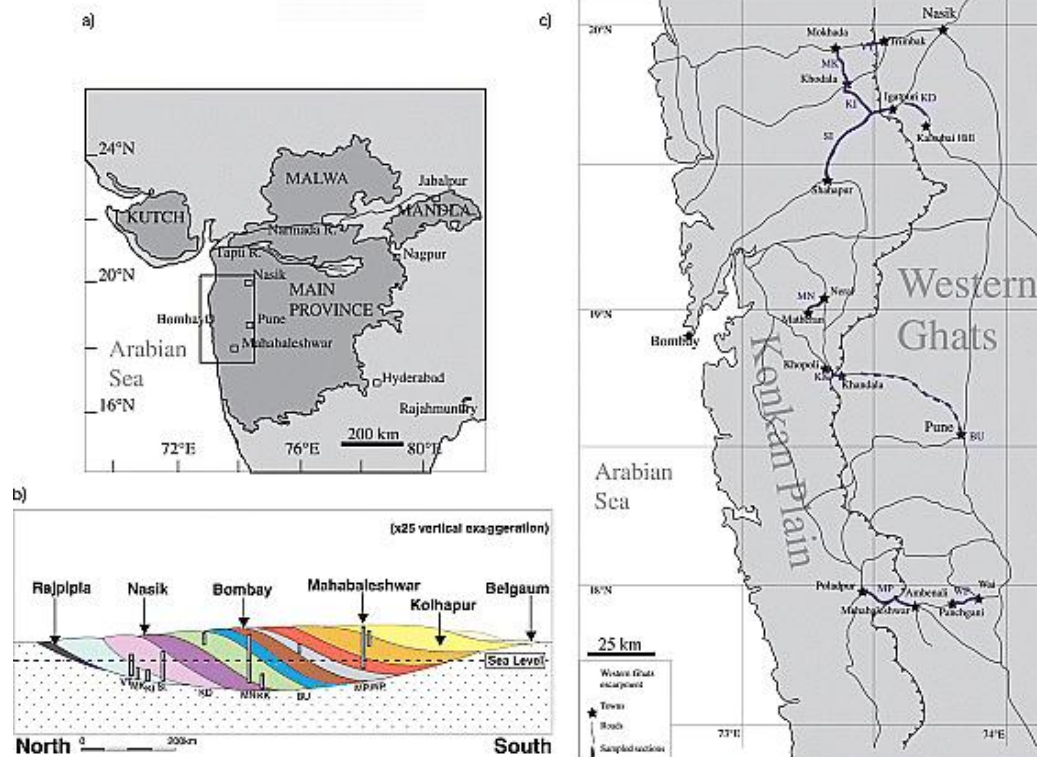
Collocazione geografica attuale



Collocazione geografica passata



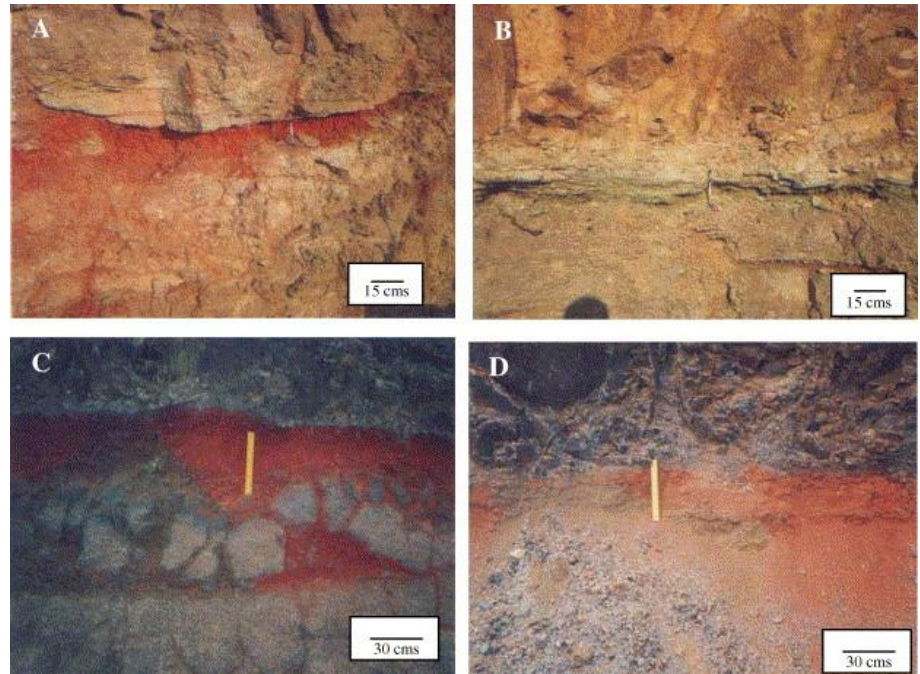
Western Ghats



Chenet et al. (2009)

Wai Lonalava Kalsubai	Mahabaleshwar	280 m
	Ambenali	500 m
	Poladpur	375 m
	Bushe	325 m
	Khandala	140 m
	Bimashankar	140 m
	Thakurvadi	650 m
	Neral	100 m
	Igatpuri	700 m
	Jawhar	200 m

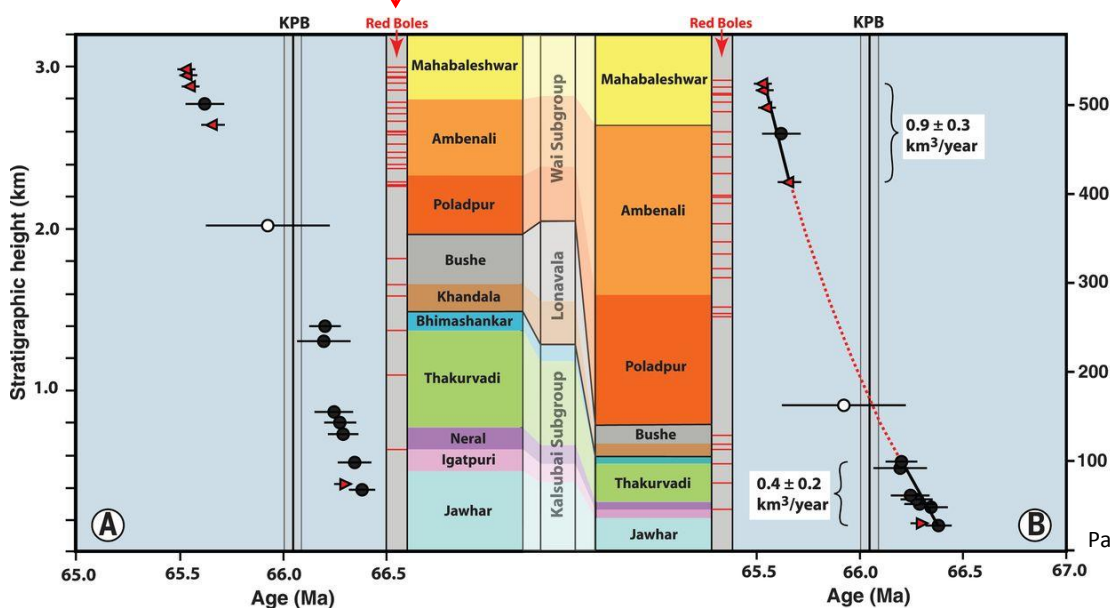
Red Boles



P. Ghosh et al. (2006)

Degradazione dei basalti e formazione di **paleosuoli**, quindi **periodi di stasi** all'interno dell'attività eruttiva

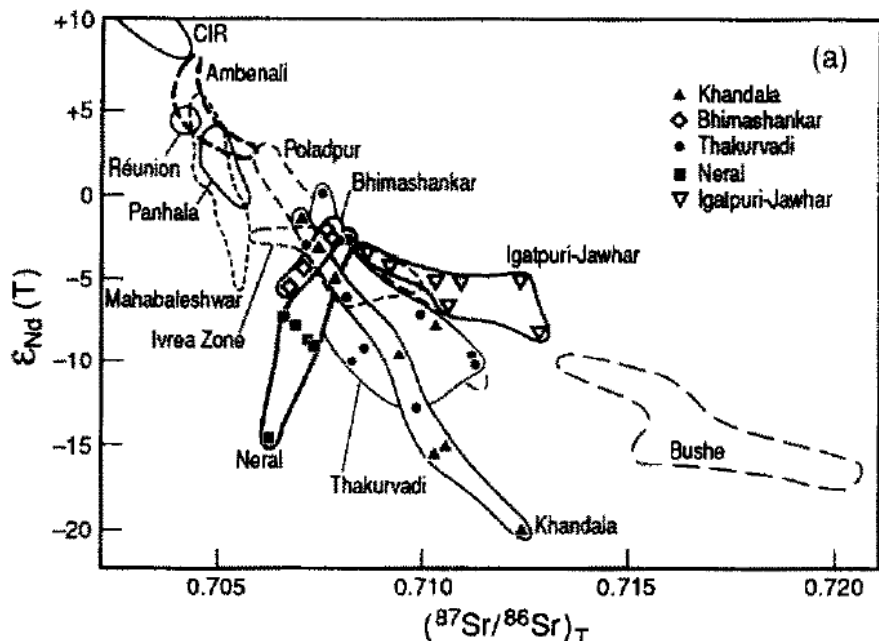
Red Boles



Tassi di eruzione:

- $0.9 \text{ Km}^3/\text{anno}$
- $0.4 \text{ Km}^3/\text{anno}$

Paul R. Renne (2015)



Z.X. Peng, J. Mahoney, P. Hooper, C. Harris, J. Beane (1993)

- Variazione distribuzione Red boles
- Diversi tassi di eruzione
- Apparentemente maggiore contaminazione crostale per le formazioni inferiori
- Cristallinità formazioni superiori

IPOTESI: variazione della profondità delle camere magmatiche durante attività eruttiva?

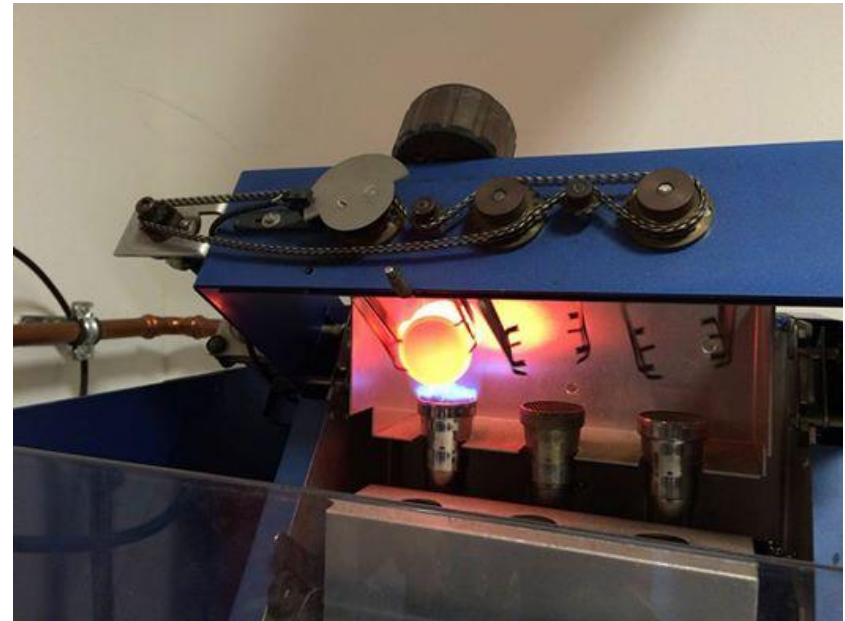
Metodologie

- Analisi chimica di roccia totale ottenuta con spettrometria a raggi X (XRF)
- Analisi mineralogica con microsonda (EMPA)
- Geotermobarometro Putirka (2008)

Spettrometria XRF

Preparazione del campione:

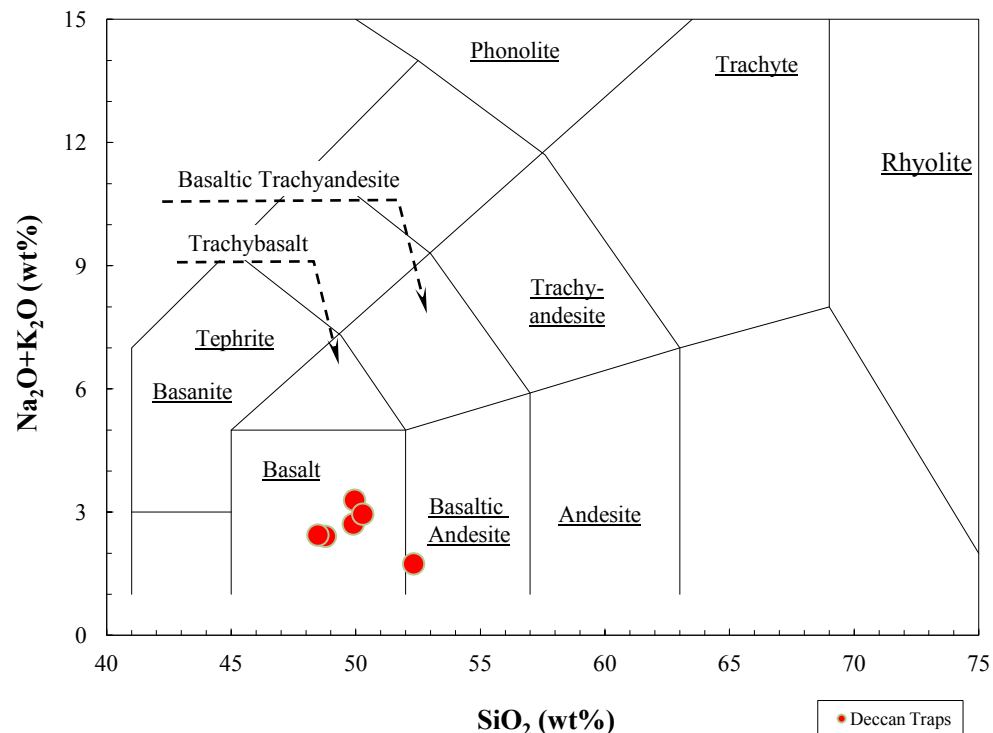
- Campione e standard di riferimento devono essere preparati nello stesso modo e con estrema accuratezza
- Coefficiente di assorbimento, densità e granulometria devono essere il più simili possibile
- Al termine si ottiene una **PERLA**, un campione vetrificato altamente omogeneo
- 0.65 g di campione calcinato
- diluizione con 6.5 g di $\text{Li}_2\text{B}_4\text{O}_7$ (tetraborato di litio, basso peso atomico medio)
- utilizzo di una perlatrice (strumento per la fusione, 1150°C).



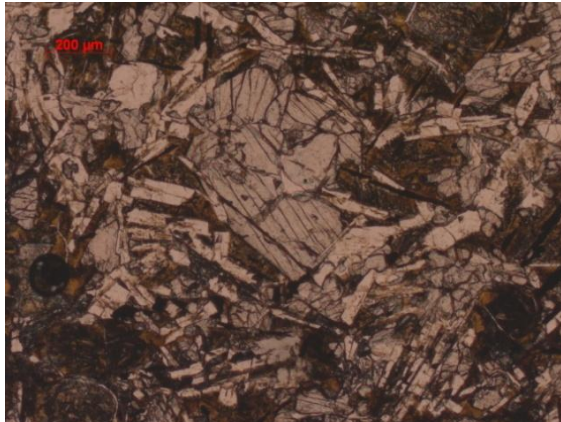
Campionamento

Tutti i campioni provengono dalla parte occidentale del Deccan Main Province (Western Ghats)

Sottogruppo	Formazione	Campione
Wai	Mahabaleshwar (280m)	AMB 14.10
	Ambenali (500m)	AMB 14.6
	Poladpur (375)	AMB 14.2
Lonalava	Bushe (325m)	
	Khandala (140m)	
Kalsubai	Bimashankar (140m)	
	Thakurvadi (650m)	BOR 14.2
	Neral (100m)	MAT 14.2
	Igatpuri (700m)	MSJ 14.2
	Jawhar (200m)	



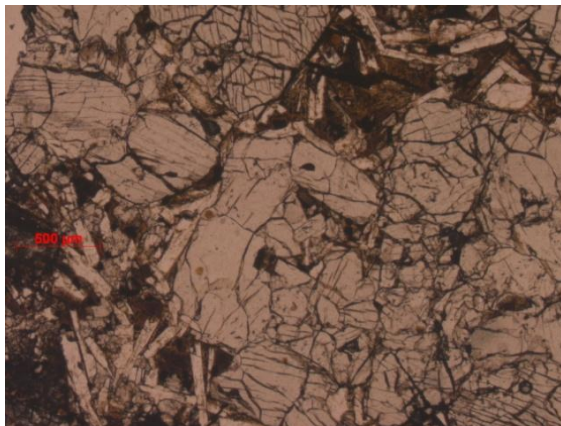
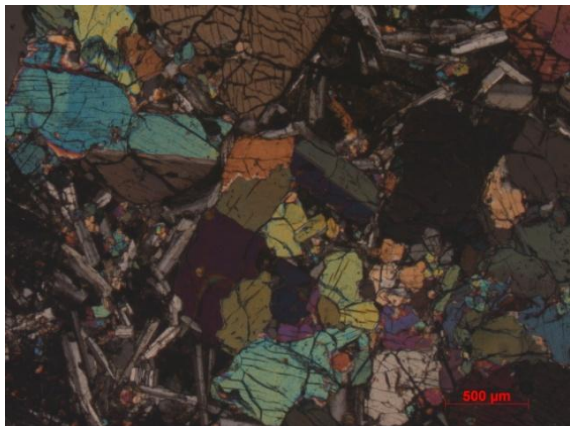
Composizione basaltica per cinque campioni analizzati. Composizione basaltico-andesitica per campione BOR 14-2, formazione di Thakurvadi.



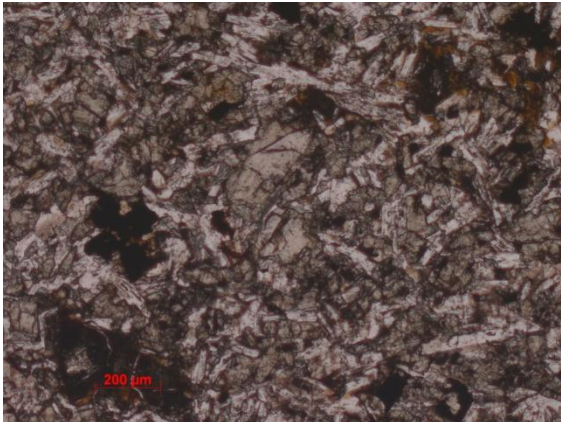
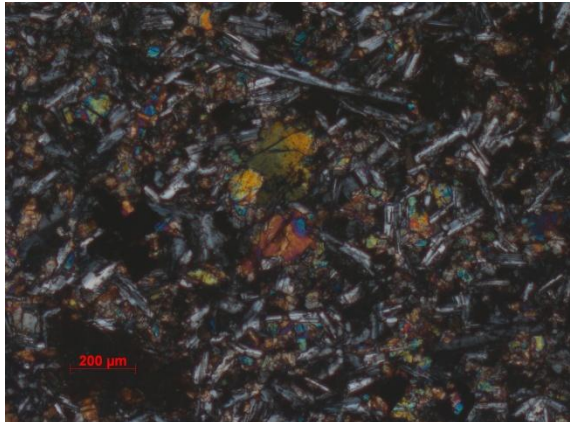
Igatpuri
MSJ 14-2



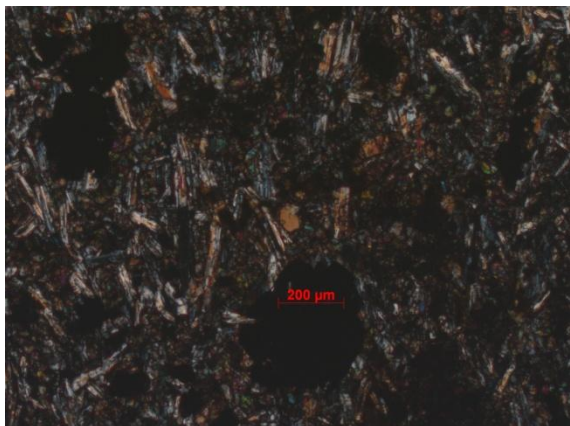
Neral
MAT 14-2



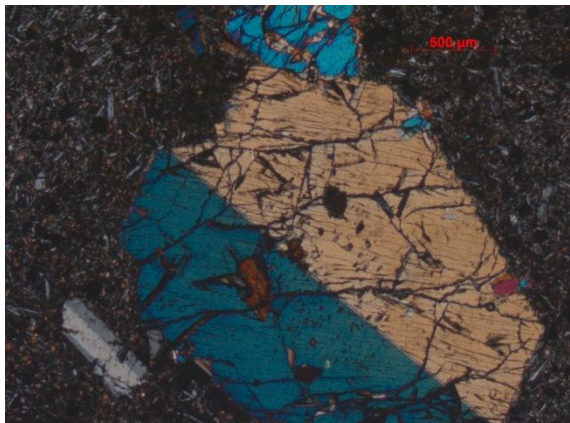
Thakurvadi
BOR 14-2



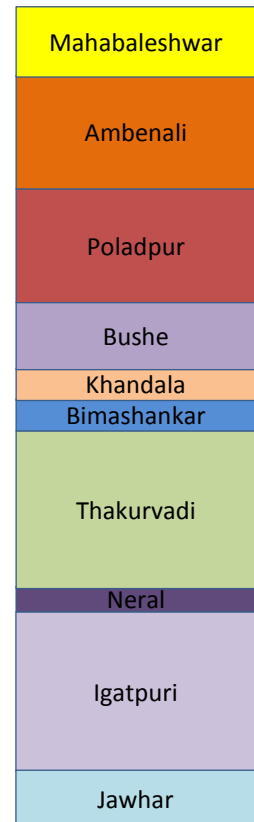
Poladpur
AMB 14-2



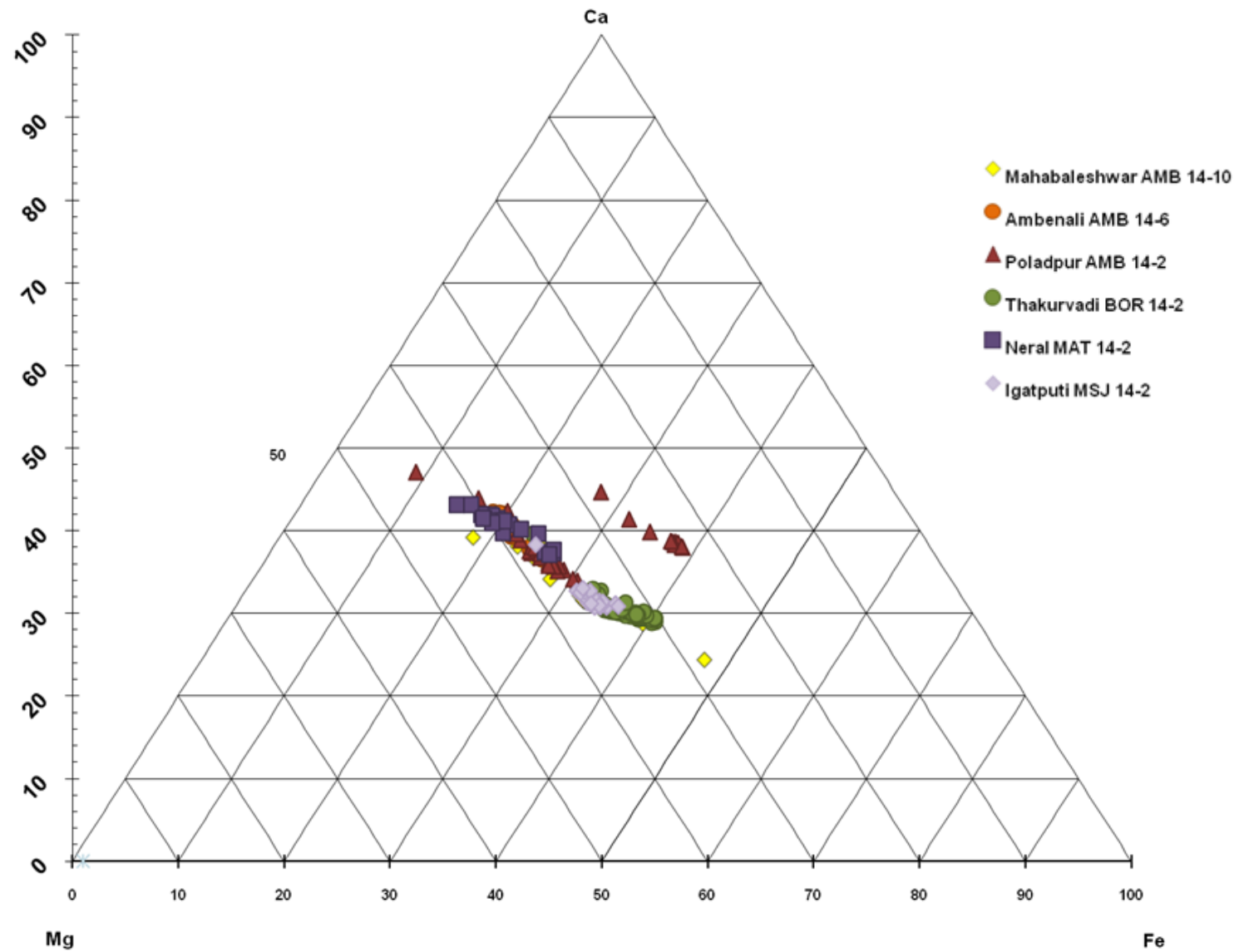
Ambenali
AMB 14-6



Mahabaleshwar
AMB 14-10

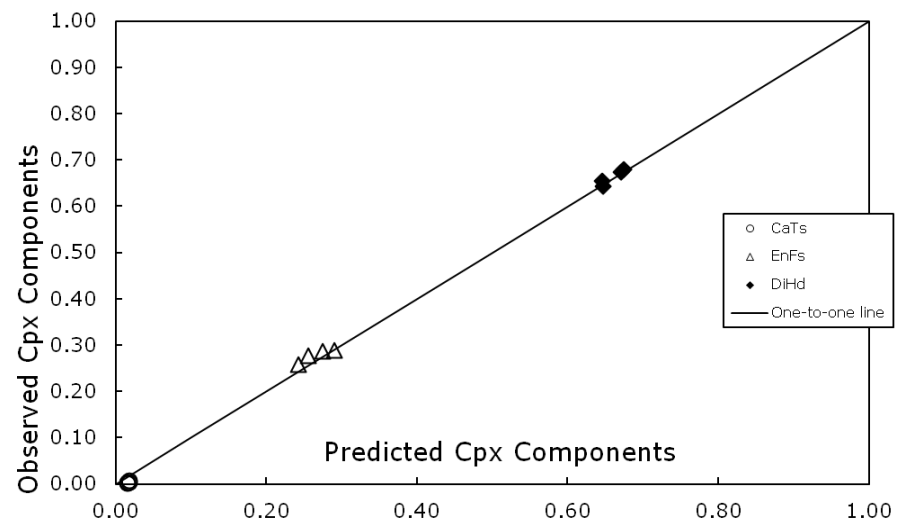
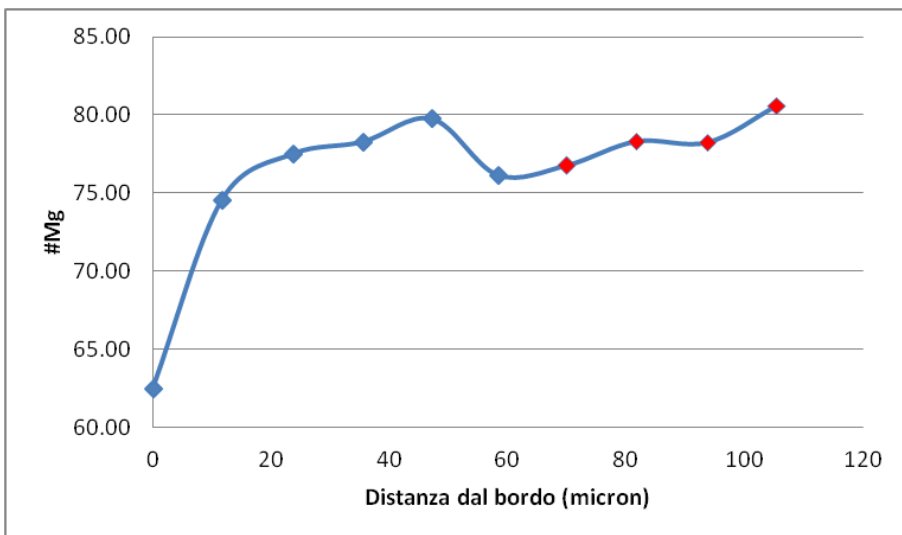


Triangolo dei pirosseni

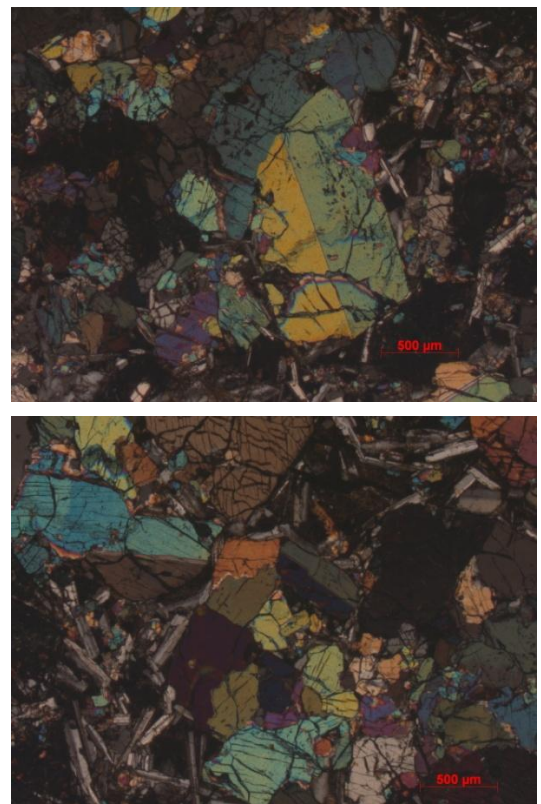
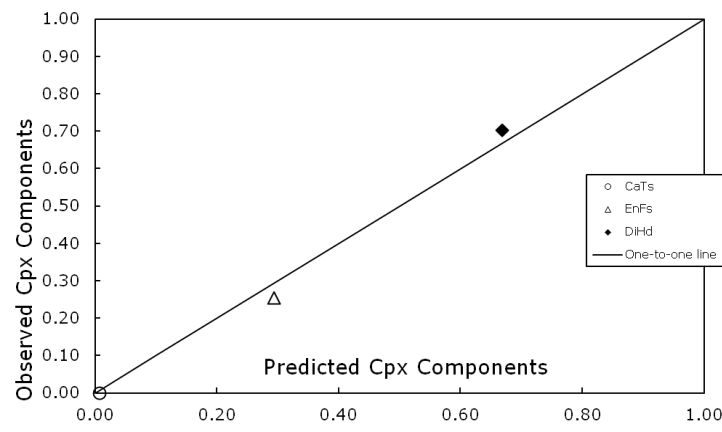
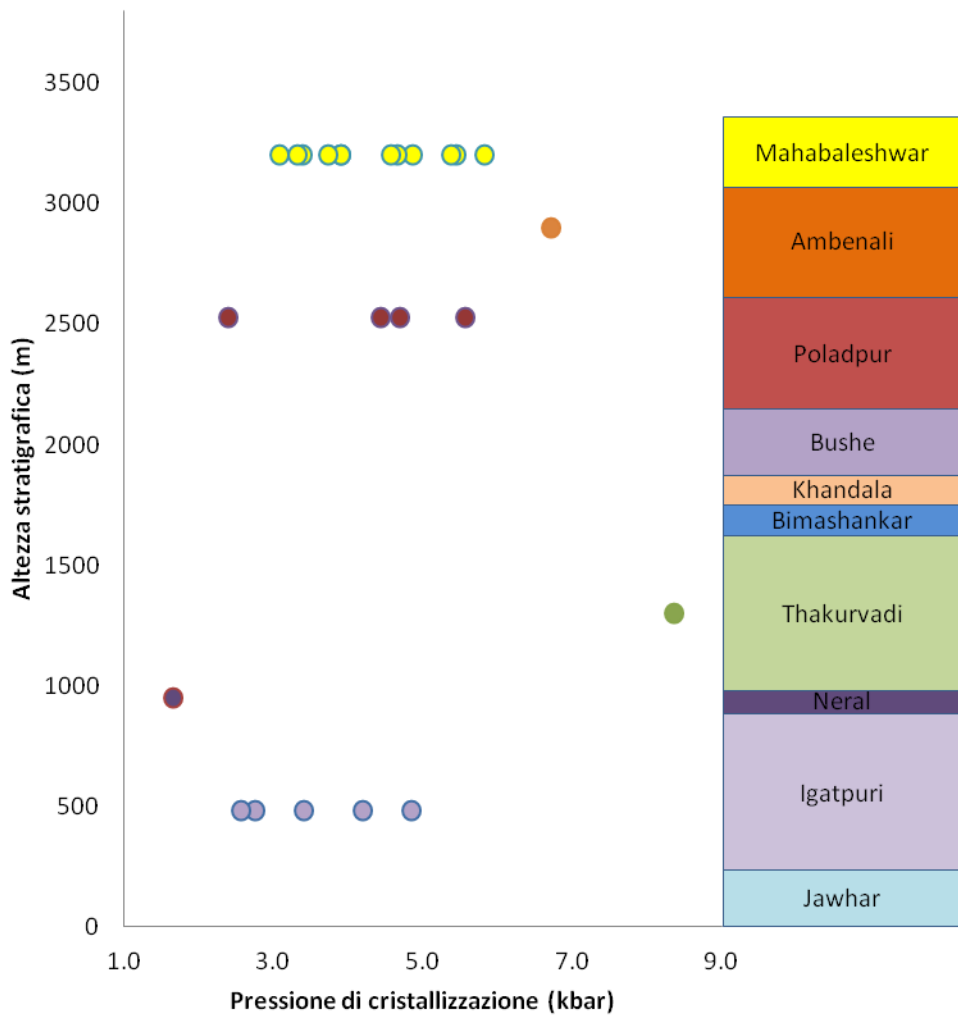


Geotermobarometro Putirka (2008)

- Scambio tra fase minerale (clinopirosseno) e fuso, assumendo una cristallizzazione all'equilibrio
- Composizioni all'equilibrio raggiunte in ambiente di cristallizzazione non sono variate nel tempo
- Utilizzo delle composizioni ottenute da spot di analisi al centro del cristallo
- Verifica attraverso “test per l’equilibrio”

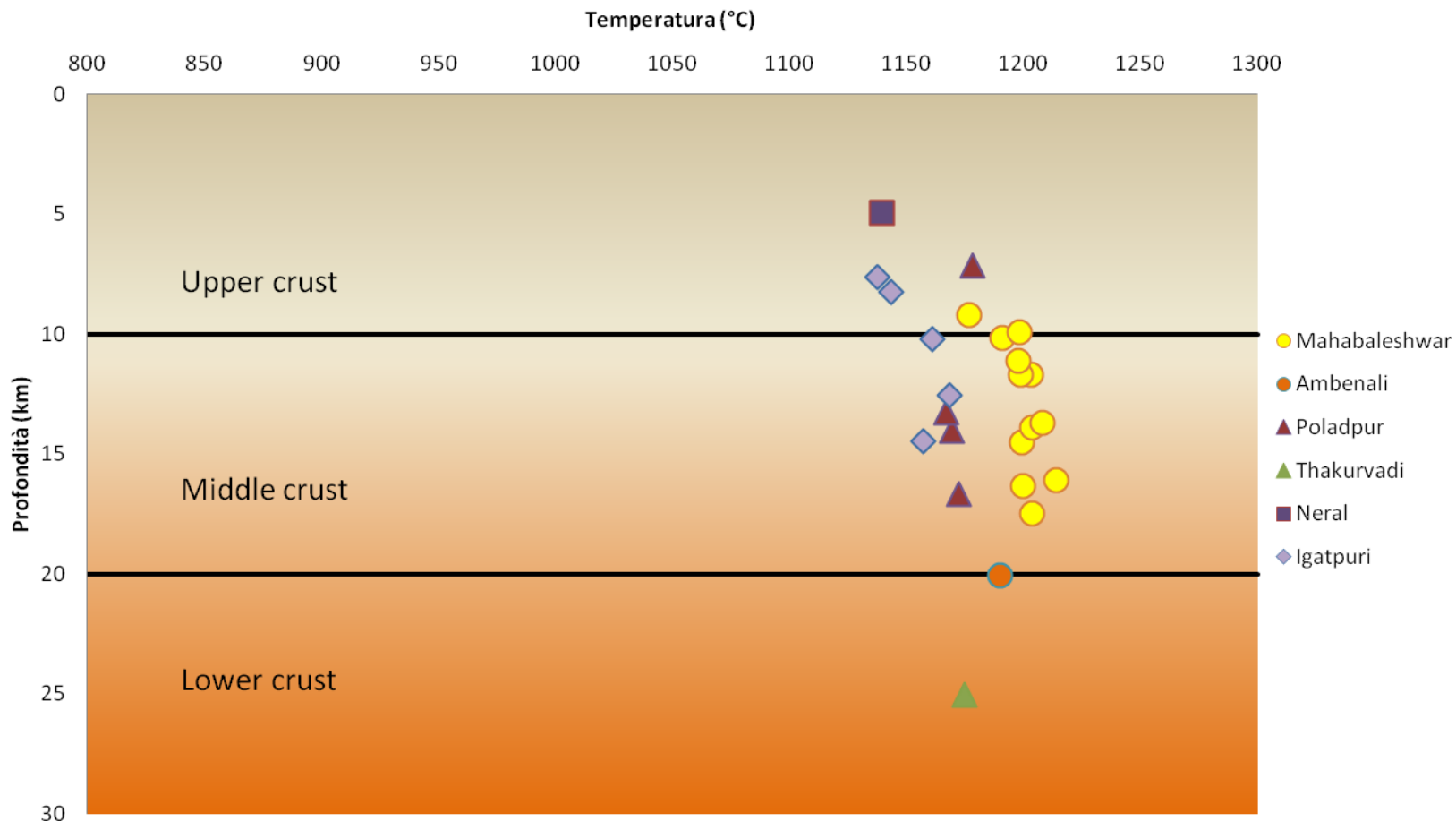


Risultati



Conclusioni

Profondità delle camere magmatiche



- Variazione di profondità delle camere magmatiche praticamente nulla
- Temperatura di cristallizzazione dei pirosseni per la formazione di Mahabaleshwar diversa dalle altre.

Bibliografia

- Peng, Z.X., Mahoney, J., Hooper, P., Harris, C., Beane, J., (1993). A role for lower continental crust in flood basalt genesis? Isotopic and incompatible element study of the lower six formations of the western Deccan Traps. *Geochimica et Cosmochimica acta*, 1994 (58), 267-288
- Ghosh, P., Sayeed, M.R.G., Islam, R., Hundekari, S.R., (2006). Inter-basaltic clay (bole bed) horizons from Deccan traps of India: Implications for palaeo-weathering and palaeo-climate during Deccan volcanism. *Palaeogeography, Palaeoclimatology, Palaeoecology*, 2006 (242), 90-109
- Chenet, A., Fluteau, F., Courtillot, V., Gérard, M., Subbarao, K.V., (2008). Determination of rapid Deccan eruptions across the Cretaceous-Tertiary boundary using paleomagnetic secular variation: Results from a 1200-m-thick section in the Mahabaleshwar escarpment. *Journal of Geophysical Research*, 2008 (113)
- Chenet, A., Courtillot, V., Fluteau, F., Gérard, M., Quidelleur, X., Khadri, S. F. R., Subbarao, K. V., Thordarson, T., (2009). Determination of rapid Deccan eruptions across the Cretaceous-Tertiary boundary using paleomagnetic secular variation: Constraints from analysis of eight new sections and synthesis for a 3500-m-thick composite section. *Journal of Geophysical Research*, 2009 (114)
- Putirka, K.D., Kuntz, M.A., Unruh, D.M., Vaid, N., (2009). Magma Evolution and Ascent at the Craters of the Moon and Neighboring Volcanic Fields, Southern Idaho, USA: Implications for the Evolution of Polygenetic and Monogenetic Volcanic Fields. *Journal of Petrology*, 2009 (00), 1-27
- Velasco-Villareal, M., Urrutia-Fucugauchi, J., Rebolledo-Vieyra, M., Perez-Cruz, L., (2011). Paleomagnetism of impact breccias from the Chicxulub crater – Implications for ejecta emplacement and hydrothermal processes. *Physics of the Earth and Planetary Interiors*, 2011 (186), 154-171
- Srivastava, P., Sangode, S.J., Meshram, D.C., Gudadhe, S.S., Nagaraju, E., Kumar, A., Venkateshwarlu, M., (2012). Paleoweathering and depositional conditions in the inter-flow sediment units (bole beds) of Deccan Volcanic Province, India: A mineral magnetic approach. *Geoderma*, 2012 (177-178), 90-109
- Renne, P., Sprain, C., Richards, M., Self, S., Vanderkluysen, L., Pande, K., (2015). State shift in Deccan volcanism at the Cretaceous-Paleogene boundary, possibly induced by impact. *Science*, 2015 (350)

Grazie per l'attenzione